

2024 年安徽省高考适应性演练

化 学

注意事项:

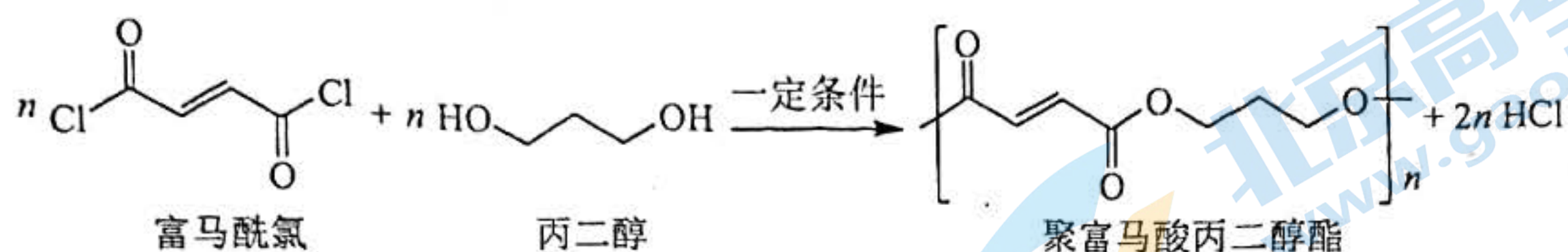
1. 答卷前,务必将自己的姓名和座位号填写在答题卡和试卷上。
2. 回答选择题时,选出每小题答案后,用铅笔把答题卡上对应题目的答案标号涂黑。如需改动,务必擦净后再选涂其它答案标号。回答非选择题时,将答案写在答题卡上。写在本试卷上无效。
3. 考试结束后,将本试卷和答题卡一并交回。

可能用到的相对原子质量: H 1 N 14 O 16 Na 23 S 32 Cl 35.5 Co 59 Zn 65 Mo 96

一、选择题: 本题共 14 小题, 每小题 3 分, 共 42 分。在每小题给出的四个选项中, 只有一项是符合题目要求的。

1. 敦煌壁画是我国灿烂的艺术瑰宝, 也是颜料应用的重要科技史料。下列有关我国传统颜料主要成分的变化, 发生氧化还原反应的是  
A. 骨白 $[\text{Ca}_5(\text{PO}_4)_3(\text{OH})]$ 遇氟盐转化为 $\text{Ca}_5(\text{PO}_4)_3\text{F}$   
B. 铅白 $[2\text{PbCO}_3 \cdot \text{Pb}(\text{OH})_2]$ 遇 $\text{H}_2\text{S}$ 得到黑色 $\text{PbS}$   
C. 石绿 $[\text{CuCO}_3 \cdot \text{Cu}(\text{OH})_2]$ 受热分解得到黑色 $\text{CuO}$   
D. 石黄( $\text{As}_2\text{S}_3$  和  $\text{As}_4\text{S}_4$ )在地表逐渐转化为硫酸盐
2. 化学与生活联系紧密。下列说法正确的是  
A. 白酒和食醋都可由淀粉发酵得到  
B. 氨基酸和核酸都是构成生命物质的生物大分子  
C. 二氧化氯和明矾用于水处理时的原理相同  
D. 供糖尿病患者食用的“无糖食品”专指不含蔗糖的食品
3. 研究发现由铝原子构成的 $\text{Al}_{16}^-$ 、 $\text{Al}_{17}^-$ 和 $\text{Al}_{18}^-$ 团簇阴离子都能与水自发反应产生氢气。下列说法正确的是  
A.  $\text{Al}_{16}^-$ 、 $\text{Al}_{17}^-$ 和 $\text{Al}_{18}^-$ 互为同位素  
B.  $\text{Al}_{16}^-$ 与水反应时作还原剂  
C.  $\text{Al}_{17}^-$ 是由铝原子通过离子键结合而成  
D. 1 mol 的 $\text{Al}_{18}^-$ 含 $6.02 \times 10^{23}$ 个电子

4. 聚富马酸丙二醇酯是一种医用高分子材料, 可由如下反应制备:



下列说法错误的是

- A. 富马酰氯存在顺式异构体                      B. 丙二醇可由油脂水解得到  
C. 该反应为缩聚反应                              D. 聚富马酸丙二醇酯可降解

阅读下列材料, 完成 5-6 小题。

烟气脱硫可有效减少  $\text{SO}_2$  引起的大气污染, 同时还得到有用产品。传统湿法脱硫多以碱性物质作吸收剂, 新型脱硫方法选用离子液体(指在室温或接近室温时呈液态的盐类物质, 由阴、阳离子组成)作吸收剂, 通过物理和化学吸收实现脱硫。

已知  $25^\circ\text{C}$  时, 几种酸的电离常数:  $\text{H}_2\text{SO}_3$   $K_{a1}=1.3 \times 10^{-2}$ ,  $K_{a2}=6.2 \times 10^{-8}$ ;  $\text{H}_2\text{CO}_3$   $K_{a1}=4.5 \times 10^{-7}$ ,  $K_{a2}=4.7 \times 10^{-11}$ ;  $\text{CH}_3\text{CH}(\text{OH})\text{COOH}$ (乳酸)  $K_a=1.4 \times 10^{-4}$ 。

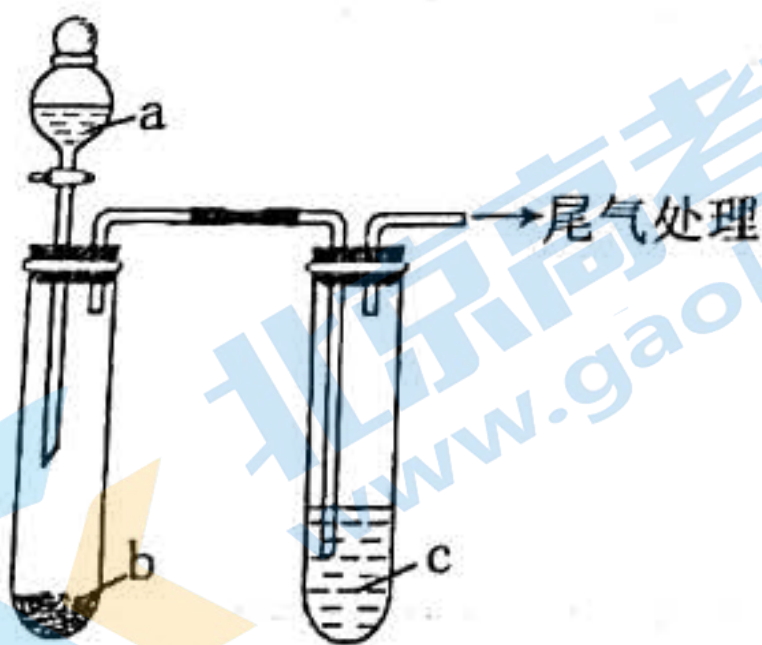
5. 传统湿法脱硫涉及的下列离子方程式中, 正确的是

- A. 烟气与氧化镁浆液的反应:  $\text{SO}_2 + 2\text{OH}^- = \text{SO}_3^{2-} + \text{H}_2\text{O}$   
B. 烟气与石灰石浆液反应得到石膏:  $\text{Ca}^{2+} + \text{SO}_2 + \text{O}_2 + 2\text{H}_2\text{O} = \text{CaSO}_4 \cdot 2\text{H}_2\text{O}$   
C. 烟气与氨水反应得到硫酸铵:  $2\text{SO}_2 + 4\text{NH}_3 \cdot \text{H}_2\text{O} + \text{O}_2 = 4\text{NH}_4^+ + 2\text{SO}_4^{2-} + 2\text{H}_2\text{O}$   
D. 烟气与海水中  $\text{HCO}_3^-$  的反应:  $\text{SO}_2 + 2\text{HCO}_3^- = \text{SO}_3^{2-} + 2\text{CO}_2 + \text{H}_2\text{O}$

6. 研究发现: 乳酸和乙醇胺 ( $\text{HOCH}_2\text{CH}_2\text{NH}_2$ ) 作用得到的离子液体——乙醇胺乳酸盐 ( $[\text{MEA}]\text{L}$ ), 既可脱硫, 也可吸收  $\text{CO}_2$ 。下列说法错误的是

- A. 液态时的导电性:  $[\text{MEA}]\text{L} > \text{乳酸}$   
B. 乳酸和乙醇胺中均含有  $\sigma$  键、 $\pi$  键和氢键  
C.  $\text{CO}_2$  是直线形非极性分子,  $\text{SO}_2$  是 V 形极性分子  
D. 相同条件下,  $[\text{MEA}]\text{L}$  能吸收气体的体积:  $\text{SO}_2 > \text{CO}_2$

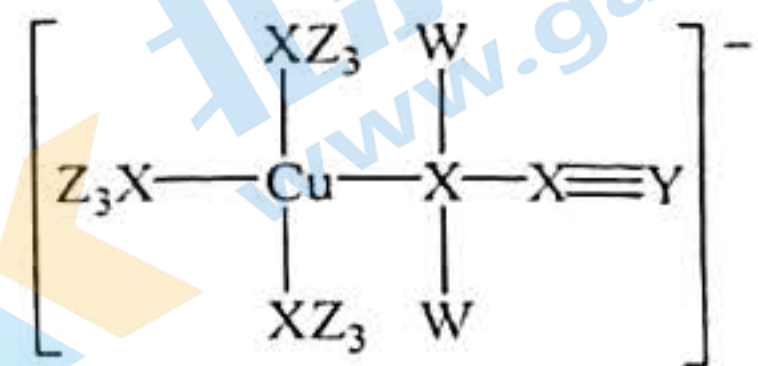
7. 实验是探究元素化合物性质的重要方法。利用下列实验装置和试剂能实现相应元素不同价态间转化的是



选项	试剂			元素不同价态间的转化
	a	b	c	
A	70% 硫酸	亚硫酸钠	新制氯水	$\overset{+6}{\text{S}} \rightarrow \overset{+4}{\text{S}} \rightarrow \overset{+6}{\text{S}}$
B	稀硫酸	硫化亚铁	氯化铁溶液	$\overset{+2}{\text{Fe}} \rightarrow \overset{+3}{\text{Fe}} \rightarrow \overset{+2}{\text{Fe}}$
C	浓硝酸	铜片	水	$\overset{+5}{\text{N}} \rightarrow \overset{+4}{\text{N}} \rightarrow \overset{0}{\text{N}}$
D	浓盐酸	高锰酸钾	溴化钾溶液	$\overset{-1}{\text{Cl}} \rightarrow \overset{0}{\text{Cl}} \rightarrow \overset{-1}{\text{Cl}}$

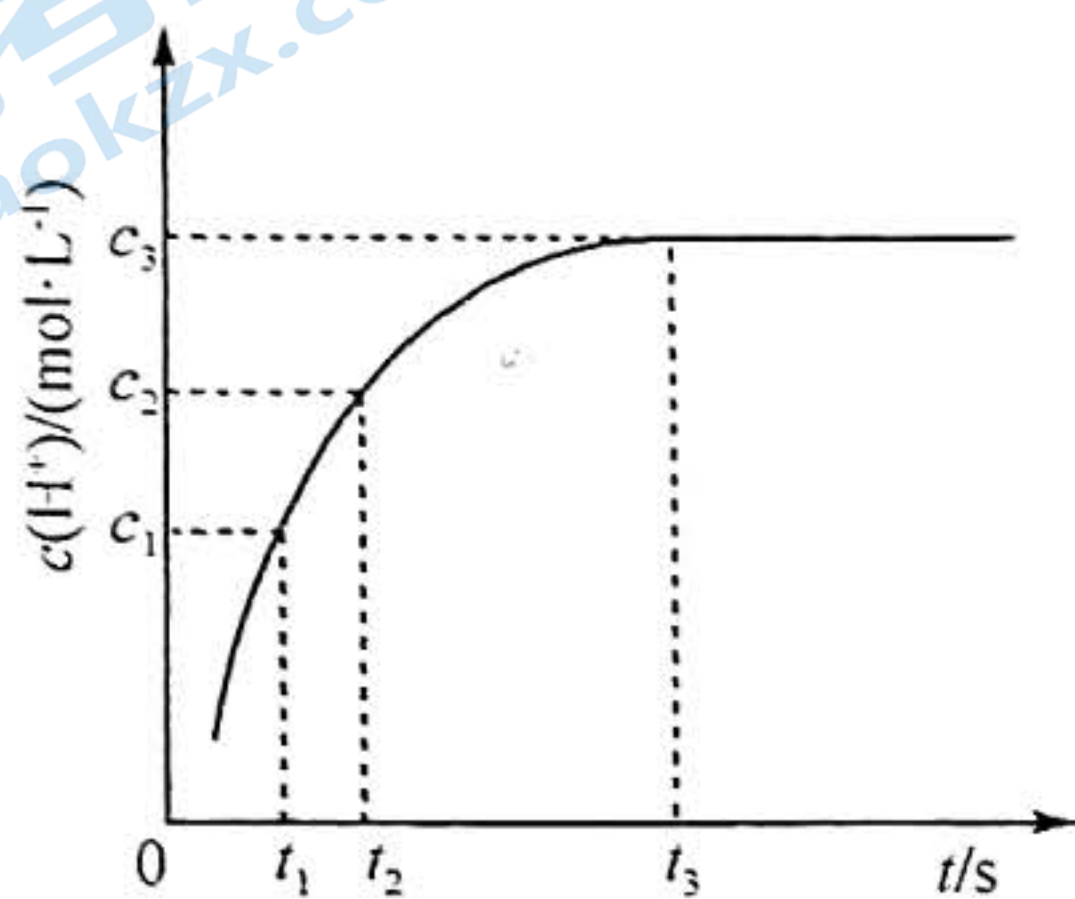
8. 某含铜催化剂的阴离子的结构如图所示。W、X、Y、Z 是原子序数依次增大的短周期元素，其中 X、Y、Z 位于同一周期，基态 X 原子的价电子排布式为  $ns^2np^n$ 。下列说法错误的是

- A. 该阴离子中铜元素的化合价为+3  
 B. 元素电负性:  $X < Y < Z$   
 C. 基态原子的第一电离能:  $X < Y < Z$   
 D. W、X、Y、Z 均位于元素周期表的 p 区



9. 稀土被称为新材料的宝库。稀土中的镧系离子可用离子交换法分离，其反应可表示为：

$\text{Ln}^{3+}(\text{aq}) + 3\text{RSO}_3\text{H}(\text{s}) \rightleftharpoons (\text{RSO}_3)_3\text{Ln}(\text{s}) + 3\text{H}^+(\text{aq})$ 。某温度时， $c(\text{H}^+)$  随时间变化关系如图所示。下列说法正确的是



- A.  $t_1$  时的正反应速率大于  $t_2$  时的逆反应速率  
 B.  $t_1 \sim t_2$  时间段的平均反应速率为:  $v(\text{Ln}^{3+}) = \frac{3(c_2 - c_1)}{t_2 - t_1} \text{ mol} \cdot \text{L}^{-1} \cdot \text{s}^{-1}$   
 C.  $t_3$  时增大  $c(\text{H}^+)$ ，该平衡左移，平衡常数减小  
 D.  $t_3$  时离子交换反应停止

10. 根据下列实验事实能得出相应结论的是

选项	实验事实	结论
A	常温下，分别向等体积 $\text{pH}=1$ 的盐酸和硫酸中加入大小相同的铝片，前者反应速率更快	电离程度： 盐酸 > 硫酸
B	常温下，分别向无水乙醇和冰醋酸中加入大小相同的金属钠，前者反应更剧烈	分子中氢氧键的极性： 乙酸 > 乙醇
C	常温下，分别向浓度均为 $0.1 \text{ mol} \cdot \text{L}^{-1}$ 的 $\text{FeSO}_4$ 和 $\text{CuSO}_4$ 溶液中通入 $\text{H}_2\text{S}$ 气体至饱和，仅后者生成沉淀	溶度积常数： $K_{sp}(\text{FeS}) > K_{sp}(\text{CuS})$
D	在 $25^\circ\text{C}$ 和 $40^\circ\text{C}$ 时，测得 $0.1 \text{ mol} \cdot \text{L}^{-1}$ $\text{Na}_2\text{SO}_3$ 溶液的 $\text{pH}$ 分别是 9.66 和 9.37	$\text{Na}_2\text{SO}_3$ 水解常数： $K_h(40^\circ\text{C}) > K_h(25^\circ\text{C})$



14. 科研人员利用高压  $N_2$  气流将水微滴喷射到涂覆催化剂的石墨网上, 研究常温制氨, 其反应历程中微粒转化关系如图 1, 相对能量变化关系如图 2, 图中 \* 表示催化剂表面吸附位。下列说法正确的是

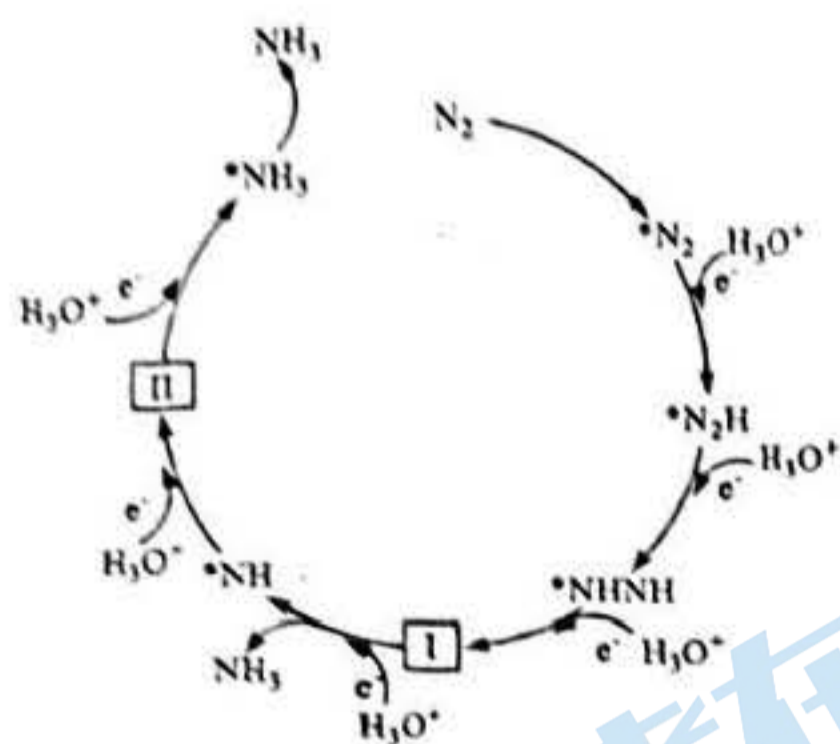
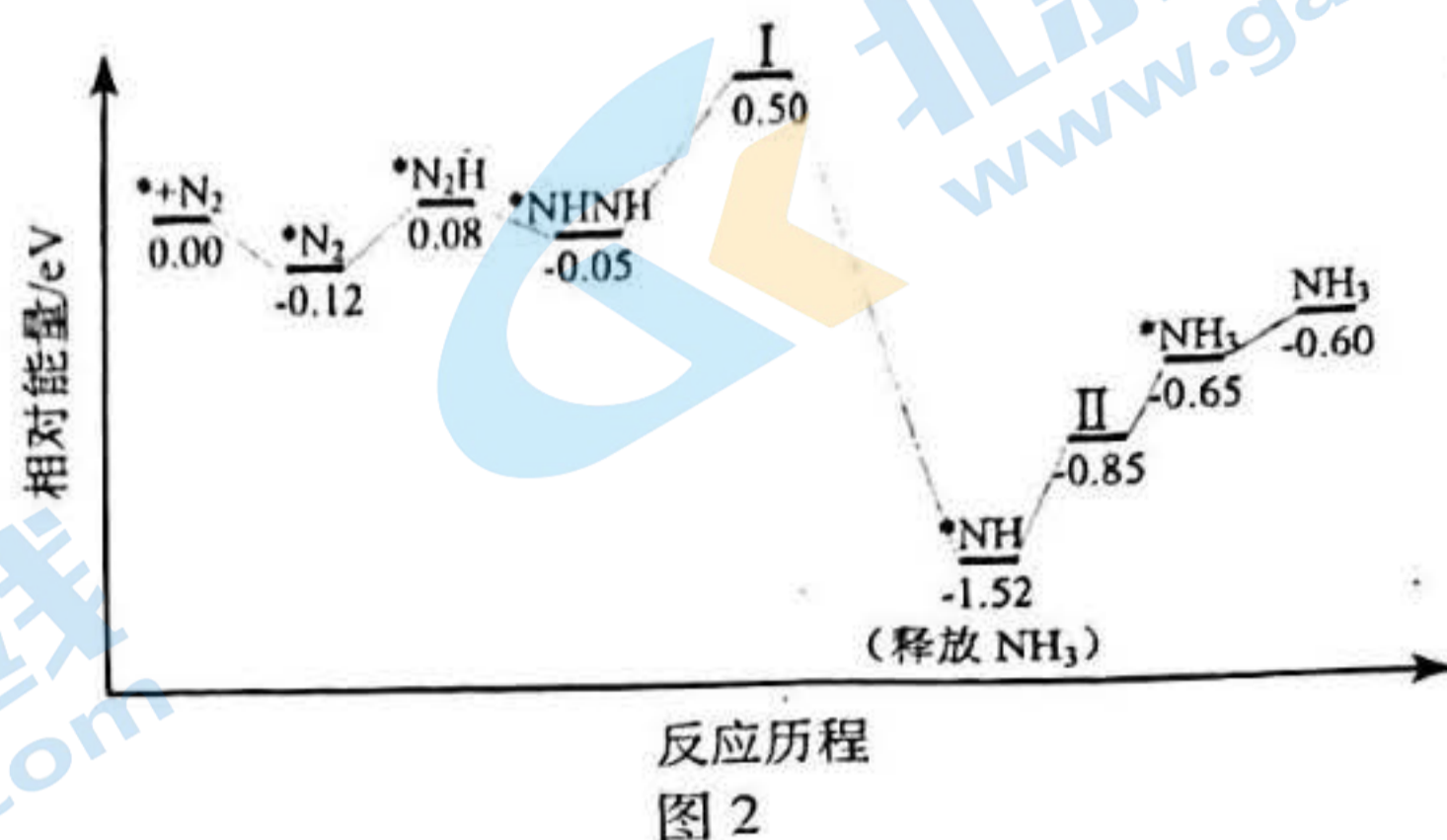


图 1



反应历程

图 2

- A.  $*N_2 \rightarrow *N_2H$  过程中发生非极性键的断裂与形成  
 B. I 转化为  $*NH$  和  $NH_3$  的过程中会生成  $N_2H_4$   
 C. II 表示的微粒符号是  $*NHNH_2$   
 D. 反应历程中放热最多的反应是  $*NHNH + 2H_3O^+ + 2e^- \rightarrow *NH + NH_3 + 2H_2O$

二、非选择题: 本题共 4 小题, 共 58 分。

15. (14 分)  $[Co(NH_3)_5Cl]Cl_2$  ( $M = 250.5 \text{ g} \cdot \text{mol}^{-1}$ ) 是一种易溶于热水, 难溶于乙醇的紫红色晶体。可通过如下实验步骤制备。

- I. 将适量氯化铵溶于浓氨水中, 搅拌下, 分批次加入 1.00 g 研细的  $CoCl_2 \cdot 6H_2O$  ( $M = 238 \text{ g} \cdot \text{mol}^{-1}$ ), 得到  $[Co(NH_3)_6]Cl_2$  沉淀。  
 II. 边搅拌边慢慢滴入足量 30%  $H_2O_2$  溶液, 得到  $[Co(NH_3)_5H_2O]Cl_3$  溶液。  
 III. 慢慢注入适量浓盐酸, 得到沉淀, 水浴加热, 冷却至室温, 得到紫红色晶体, 减压过滤。  
 IV. 依次用不同试剂洗涤晶体, 烘干, 得到 0.85 g 产品。

回答下列问题:

- (1) 本实验涉及钴配合物的配体有 \_\_\_\_\_ (填化学式)。  
 (2) 本实验应在通风橱中进行, 原因是 \_\_\_\_\_。  
 (3) 步骤 I 中分批次加入研细的  $CoCl_2 \cdot 6H_2O$ , 原因是 \_\_\_\_\_。  
 (4) 步骤 II 发生反应的离子方程式是 \_\_\_\_\_。  
 (5) 步骤 IV 中使用的洗涤试剂有: ①冷水 ②乙醇 ③冷的盐酸 ④丙酮。试剂使用的先后顺序是: ①  $\rightarrow$  \_\_\_\_\_  $\rightarrow$  \_\_\_\_\_  $\rightarrow$  ④ (填序号)。  
 (6) 已知:  $Co^{2+} + 6NH_3 = [Co(NH_3)_6]^{2+}$   $K = 10^{5.11}$ ;  $Co^{3+} + 6NH_3 = [Co(NH_3)_6]^{3+}$   $K = 10^{35.2}$ 。  
 则在水溶液中的稳定性:  $[Co(NH_3)_6]^{2+}$  \_\_\_\_\_  $[Co(NH_3)_6]^{3+}$  (填“大于”或“小于”)。  
 (7) 本实验的产率最接近于 \_\_\_\_\_ (填标号)。

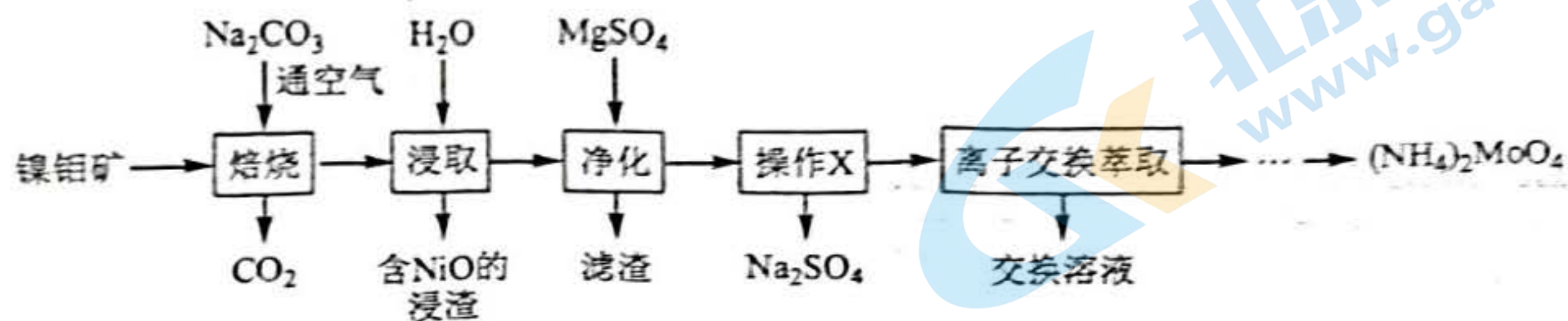
A. 80%

B. 85%

C. 90%

D. 95%

16. (14分) 钼(Mo)及其化合物广泛地应用于医疗卫生、国防等领域。某镍钼矿中的镍和钼以NiS和MoS<sub>2</sub>形式存在,从镍钼矿中分离钼,并得到Na<sub>2</sub>SO<sub>4</sub>的一种工艺流程如下:



回答下列问题:

- (1) Ni 位于元素周期表第\_\_\_\_\_周期第\_\_\_\_\_族。(NH<sub>4</sub>)<sub>2</sub>MoO<sub>4</sub> 中钼元素的化合价为\_\_\_\_\_。
- (2) “焙烧”中生成 Na<sub>2</sub>MoO<sub>4</sub> 的化学方程式为\_\_\_\_\_。
- (3) Na<sub>2</sub>CO<sub>3</sub> 用量对钼浸出率和浸取液中 CO<sub>3</sub><sup>2-</sup> 浓度的影响如图 1 所示,试分析实际生产中选择 Na<sub>2</sub>CO<sub>3</sub> 用量为理论用量 1.2 倍的原因:\_\_\_\_\_。

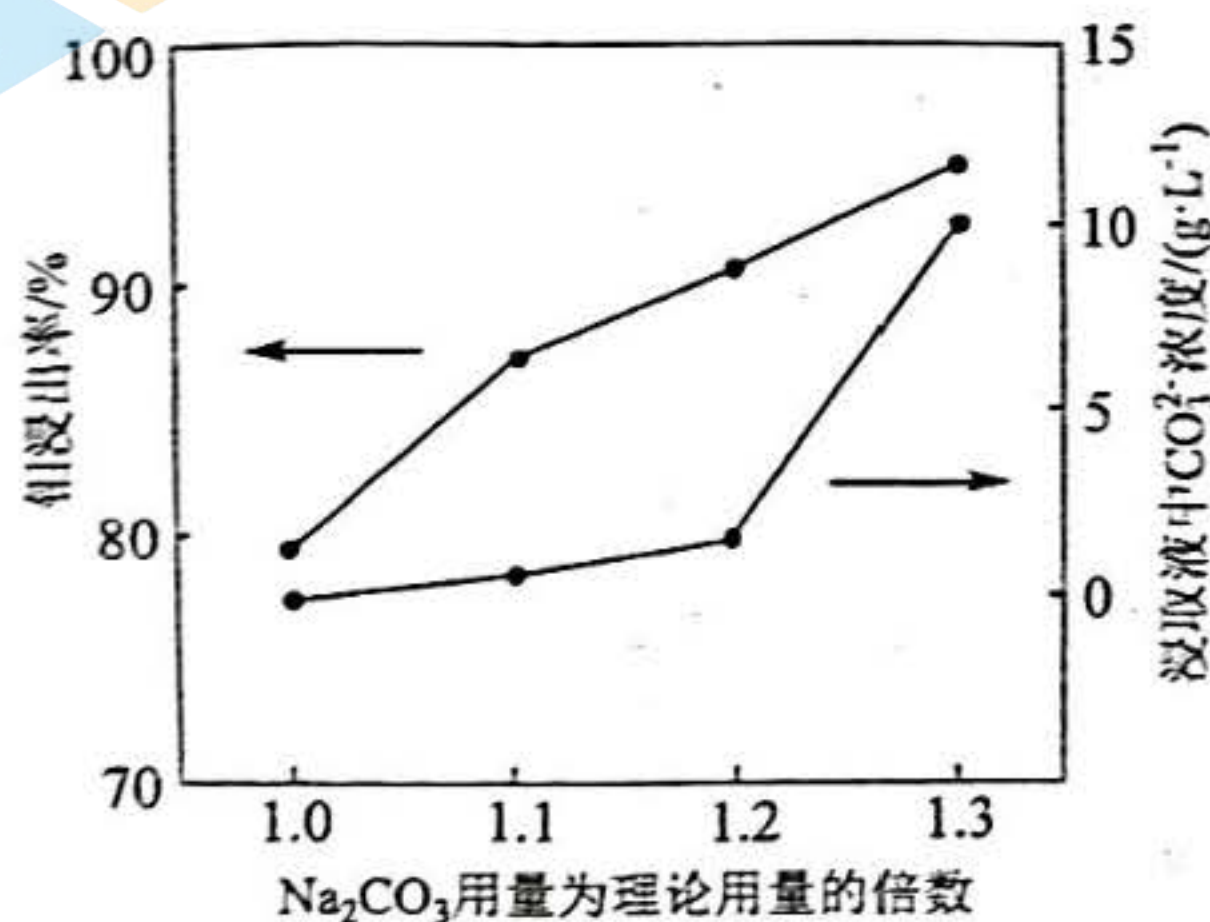


图 1

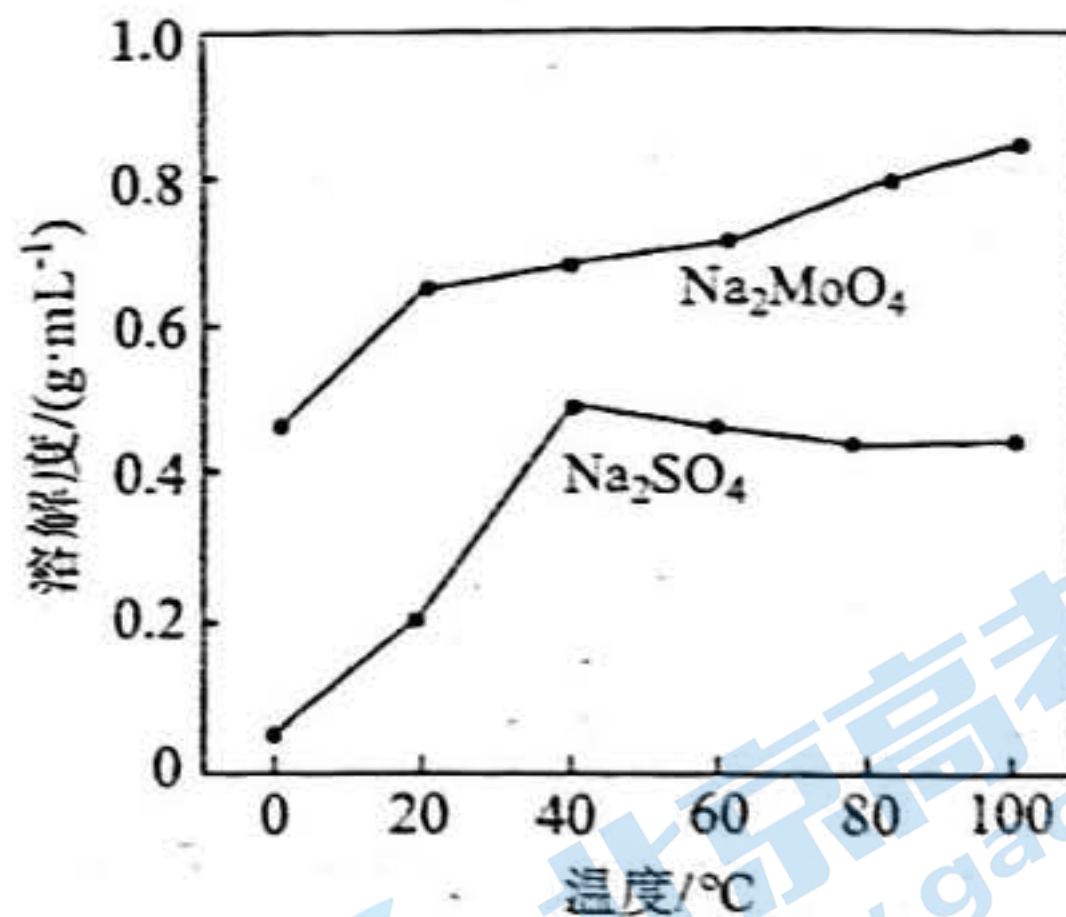
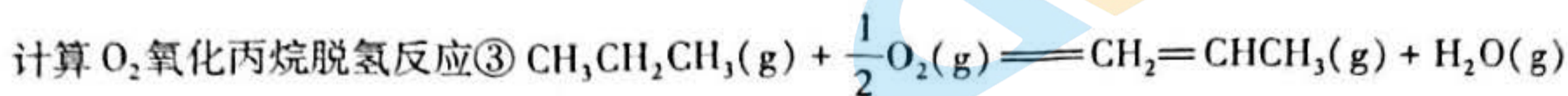
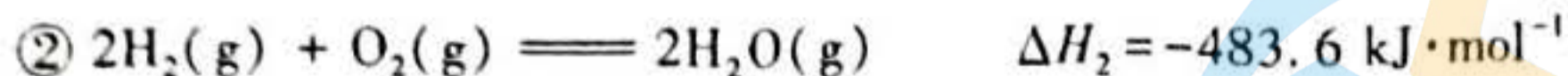
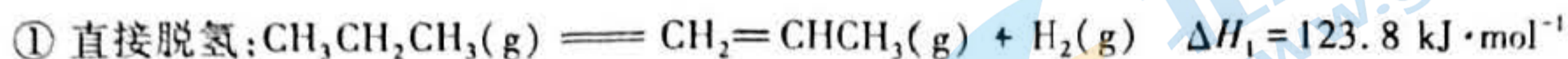


图 2

- (4) Na<sub>2</sub>MoO<sub>4</sub>、Na<sub>2</sub>SO<sub>4</sub> 的溶解度曲线如图 2 所示,为充分分离 Na<sub>2</sub>SO<sub>4</sub>,工艺流程中的“操作 X”应为\_\_\_\_\_ (填标号)。
- A. 蒸发结晶      B. 低温结晶      C. 蒸馏      D. 萃取
- (5) 为充分利用资源,“离子交换萃取”步骤产生的交换溶液应返回“\_\_\_\_\_”步骤。
- (6) (NH<sub>4</sub>)<sub>2</sub>MoO<sub>4</sub> 分解可得 MoO<sub>3</sub>。高温下,用铝粉还原 MoO<sub>3</sub> 得到金属钼的化学方程式为\_\_\_\_\_。

17. (15分) 丙烷价格低廉且产量大, 而丙烯及其衍生物具有较高的经济附加值, 因此丙烷脱氢制丙烯具有重要的价值。回答下列问题:

(1) 已知下列反应的热化学方程式:



的  $\Delta H_3 = \underline{\hspace{2cm}} \text{ kJ} \cdot \text{mol}^{-1}$ 。

(2) 已知下列键能数据, 结合反应①数据, 计算  $\text{C}=\text{C}$  的键能是  $\underline{\hspace{2cm}} \text{ kJ} \cdot \text{mol}^{-1}$ 。

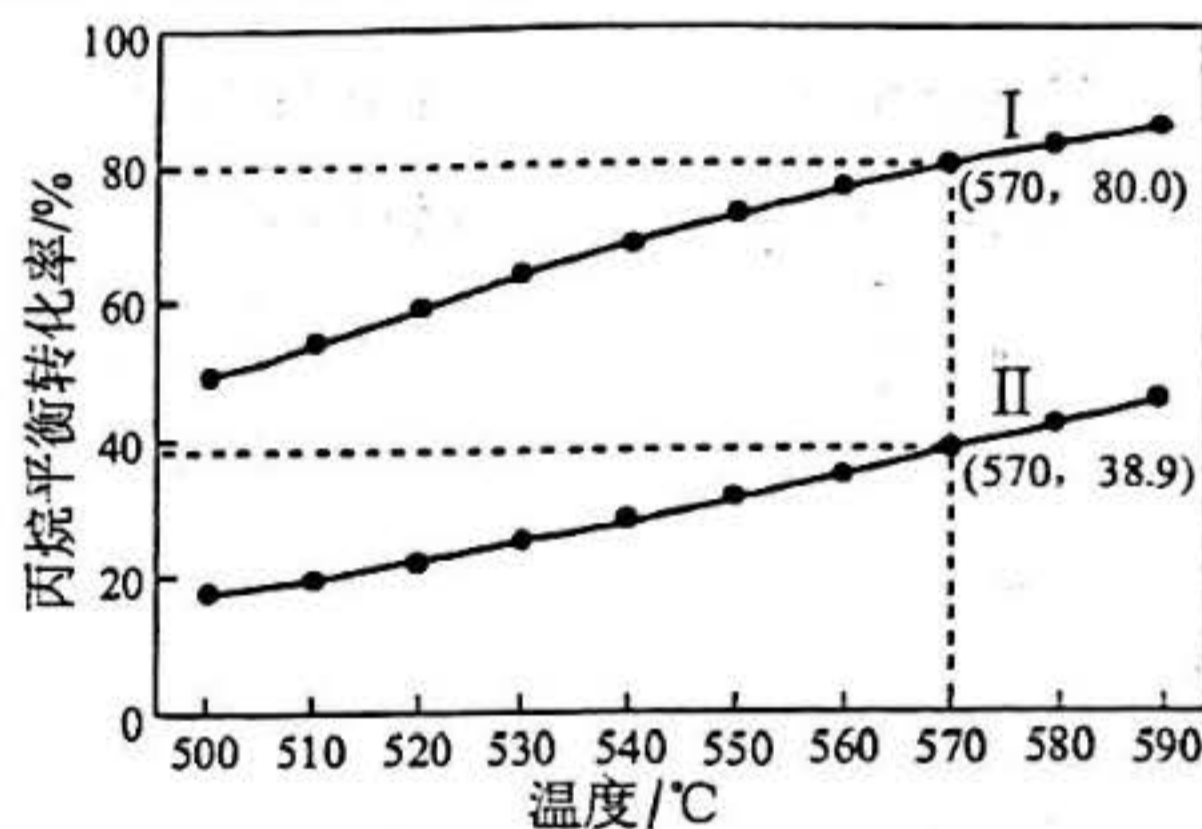
化学键	C—C	C—H	H—H
键能/ $(\text{kJ} \cdot \text{mol}^{-1})$	347.7	413.4	436.0

(3) 一定条件下, 反应①中丙烷平衡转化率  $x$  与平衡常数  $K_p$  的关系可表示为:

$x^2 = \frac{K_p}{K_p + p}$ , 式中  $p$  为系统总压。  $p$  分别为 0.10 MPa 和 0.010 MPa 时, 丙烷平衡转化率与温度的关系如图所示, 其中表示 0.10 MPa 下的关系曲线是

$x^2 = \frac{K_p}{K_p + p}$ , 式中  $p$  为系统总压。  $p$  分别为 0.10 MPa 和 0.010 MPa 时, 丙烷平衡转化率与温度的关系如图所示, 其中表示 0.10 MPa 下的关系曲线是

\_\_\_\_\_ (填“ I ”或“ II ”)。 570°C 时,  $K_p = \underline{\hspace{2cm}} \text{ MPa}$  (保留 2 位有效数字)。

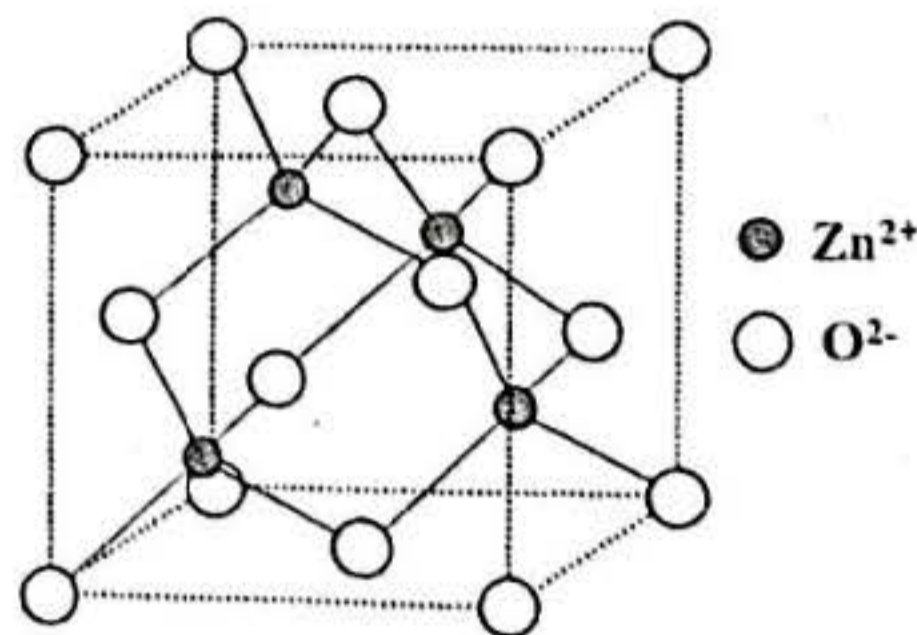


(4) 研究人员利用  $\text{V}_2\text{O}_5$  作催化剂, 对反应③的机理开展研究。以  $\text{C}_3\text{H}_8$  和  $^{18}\text{O}_2$  为原料, 初期产物中没有检测到  $^{18}\text{O}$ ; 以含有  $\text{C}_3\text{D}_8$  的  $\text{C}_3\text{H}_8$  和  $\text{O}_2$  为原料, 反应过程中没有检测到  $\text{C}_3\text{H}_{8-n}\text{D}_n (0 < n < 8)$ 。下列推断合理的是 \_\_\_\_\_ (填标号)。

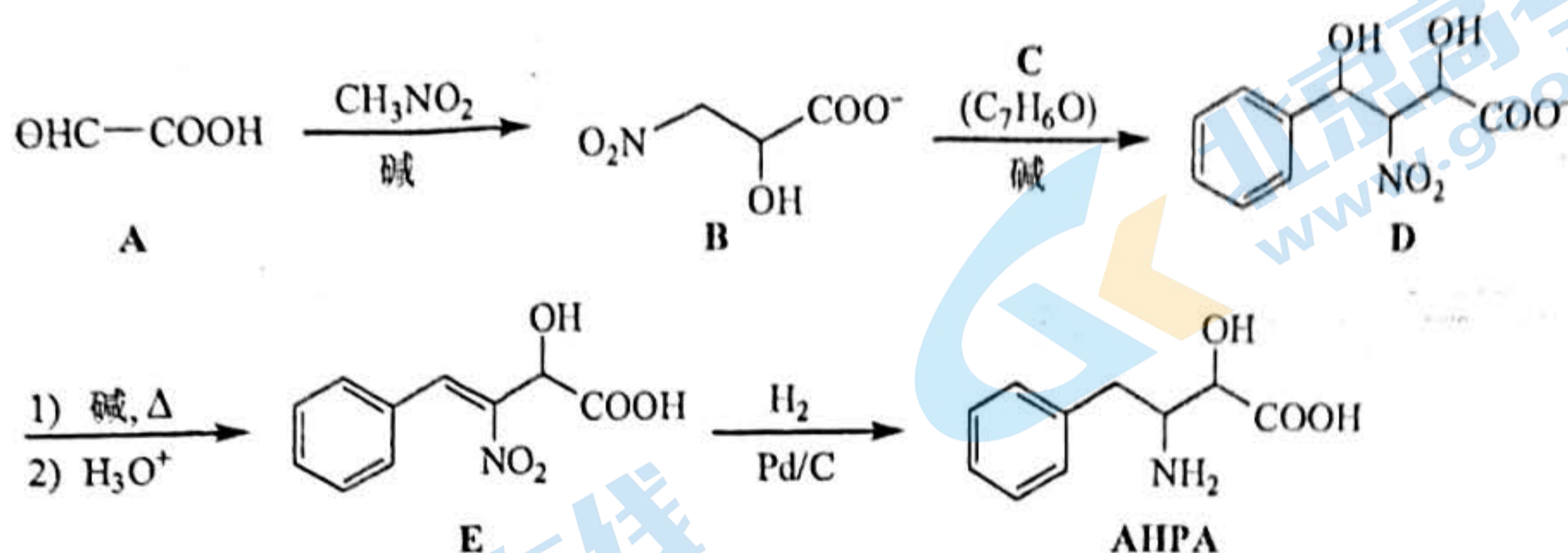
- A.  $\text{V}_2\text{O}_5$  先吸附氧气, 吸附的氧气直接与吸附的丙烷反应
- B.  $\text{V}_2\text{O}_5$  直接氧化吸附的丙烷, 吸附的氧气补充  $\text{V}_2\text{O}_5$  中反应掉的氧
- C.  $\text{V}_2\text{O}_5$  催化丙烷脱氢过程中, 碳氢键的断裂是可逆的

(5) 研究人员尝试利用  $\text{CO}_2$  氧化丙烷脱氢制丙烯, 与  $\text{O}_2$  氧化丙烷脱氢制丙烯相比, 使用  $\text{CO}_2$  的优点有 \_\_\_\_\_ (写出两点即可)。

(6) 一种基于  $\text{ZnO}$  的锌基催化剂, 可高效催化丙烷转化为丙烯。立方  $\text{ZnO}$  的晶胞如图, 晶胞参数为  $a \text{ pm}$ ,  $\text{O}^{2-}$  与  $\text{Zn}^{2+}$  间的最小距离为 \_\_\_\_\_  $\text{pm}$ , 晶体密度为 \_\_\_\_\_  $\text{g} \cdot \text{cm}^{-3}$  (列出计算式, 阿伏加德罗常数的值为  $N_A$ )。



18. (15分) 非天然氨基酸 AHPA 是一种重要的药物中间体, 其合成路线之一如下:



(1) A 可由  $\text{HOCH}_2\text{COOH}$  氧化得到,  $\text{HOCH}_2\text{COOH}$  的化学名称是\_\_\_\_\_。

(2) C 的结构简式为\_\_\_\_\_。

(3) D 中手性碳原子数目为\_\_\_\_\_。

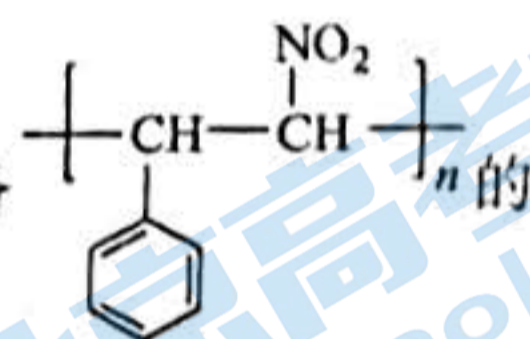
(4) E 转化为 AHPA 的反应类型为\_\_\_\_\_。

(5) AHPA 中酸性官能团名称为\_\_\_\_\_, 碱性官能团名称为\_\_\_\_\_。

(6) 写出同时满足下列条件的 AHPA 的同分异构体的结构简式\_\_\_\_\_。

- ① 含苯环且苯环只有一个取代基;
- ② 红外光谱显示含氧官能团只有  $-\text{OH}$  和  $-\text{CONH}_2$ ;
- ③ 核磁共振氢谱显示有 6 组峰, 峰面积比为 4:2:2:2:2:1。

(7) 参照上述合成路线, 设计以苄基氯 ( $\text{C}_6\text{H}_5\text{CH}_2\text{Cl}$ ) 为主要原料制备



合成路线\_\_\_\_\_ (其他原料、试剂任选)。